

I - 135 合成曲線並列桁橋における床版の連続性の影響について

山梨大学工学部 正員 深沢 泰晴
 交通技術(高) 青柳 史郎
 全上 ○松貝幹夫

1. はじめに

曲線橋特有の卓越するねじれに対処するには、開断面構造を採用することが特に望ましい。しかししながら経済性の観点からすれば、コンクリート床版と並列工形ヒモを合成させた、いわゆる合成並列桁構造が非常に有利であり、そのため最近では曲線橋においてもこの種の構造例がかなり多くみられるようになった。このような構造は箱桁構造に較べるとねじりに対する力学的特性が遙かに劣るので、その設計にあたっては慎重な解析がなされると共に、構造特性が十分に検討されなければならない。

一般に従来は、この種の構造の計算にあたっては、有効中に応じてコンクリート床版を切削し、各並列桁のフランジが橋軸方向に単独で自由に振舞えるものと仮定し、格子構造として計算するが、更に単純化して全横断面形状不変の並列桁構造として解析している。ところが有効中の考え方自体、曲げを主体とする構造を対象とするものであり、また床版の連続性を無視してはねじりによる反り拘束及びそれに伴うせん断流の状態を正確に把握し得ない等の不合理を考えれば、これらの慣用設計法は必ずしも妥当であるとは云えない。そこでここでは床版を連続としたまでの並列主桁構造の簡便な計算式を提案すると共に、2, 3の計算結果にもとづいて比較検討を行なった。

2. 合成曲線並列桁橋の計算式

図-1は横断面の一部を示す。構成要素としての個々の板帶を単位として解析し、全体としては各板帶の接合点での軸方向の垂直度の連続条件が満たされるようにするという解析方法を採用した。

2-1. 板帶の中立点と断面定数 合成曲線並列桁橋がねじりの曲線状の板帶から構成されているとする。そのうちの板帶 j の中立点の座標 $O_j(\bar{x}_j, \bar{y}_j)$

その曲率半径 P_j 、断面二次モーメント J_{xj}, J_{yj}, J_{xyj} 、ねじれ定数 J_{tzj} は次式で表される；

$$\bar{x}_j = \bar{x}'_j + \frac{1}{12} \frac{d_j^3 \sin \alpha_j \cos \alpha_j}{P'_j}, \quad \bar{y}_j = \bar{y}'_j + \frac{1}{12} \frac{d_j^3 \sin^2 \alpha_j}{P'_j}, \quad P_j = P'_j \left(1 - \frac{1}{12} \frac{d_j^2 \sin^2 \alpha_j}{P'^2_j}\right)$$

$$J_{xj} = \frac{1}{12} d_j^3 t_j \sin^2 \alpha_j \left(1 - \frac{1}{6} \frac{d_j^2 \sin^2 \alpha_j}{P'^2_j}\right), \quad J_{yj} = \frac{1}{12} d_j^3 t_j \cos^2 \alpha_j \left(1 - \frac{1}{6} \frac{d_j^2 \sin^2 \alpha_j}{P'^2_j}\right)$$

$$J_{xyj} = \frac{1}{12} d_j^3 t_j \sin \alpha_j \cos \alpha_j \left(1 - \frac{1}{6} \frac{d_j^2 \sin^2 \alpha_j}{P'^2_j}\right), \quad J_{tzj} = \frac{1}{3} d_j t_j^3 \left(\frac{P_j}{P'_j}\right)^2 \left(1 + \frac{d_j^3 \sin^2 \alpha_j}{P'^2_j}\right)$$

ここで、 (\bar{x}'_j, \bar{y}'_j) = 板帶断面の中心点の座標、 P'_j = 同曲率半径、 d_j = 板帶の巾、 t_j = 板帶厚。

2-2. 全断面の中立点と断面定数 全断面の中立点の座標 $O(\bar{x}_0, \bar{y}_0)$ 、同曲率半径 R_0 、断面二次モーメント J_{x0}, J_{y0}, J_{xy0} は各板帶の断面定数によって次のように表される；

$$x_0 = \sum_{j=1}^n \frac{1}{P_j} F_j \bar{x}_j / \sum_{j=1}^n \frac{1}{P_j} F_j, \quad y_0 = \sum_{j=1}^n \frac{1}{P_j} F_j \bar{y}_j / \sum_{j=1}^n \frac{1}{P_j} F_j, \quad R_0 = F / \sum_{j=1}^n \frac{1}{P_j} F_j$$

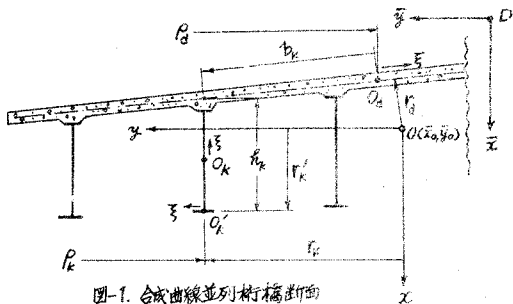


図-1. 合成曲線並列桁橋断面

$$J_x = \sum_{j=1}^n \frac{R_0}{F_j} (J_{yj} + F_j y_j^2), J_y = \sum_{j=1}^n \frac{R_0}{F_j} (J_{yj} + F_j x_j^2), J_{xy} = \sum_{j=1}^n \frac{R_0}{F_j} (J_{yj} + F_j x_j y_j)$$

ここで、 F_j = 枝条 j の横断面積、 $F = \sum F_j$ = 全断面の断面積。 (x_j, y_j) = 座標系 $(O-x, y)$ における O_j の座標。

2-3. 全断面の中立点に関する反り剛度と断面定数 合成並列桁構造が m ケの工桁と 1 ケの床版より構成されたものとする。中立点 O をねじり中心とした場合の床版及び桁 j の下突縁板、腹板の各中立点における反り剛度 w_A 、 w_{Ax} 、 w_{Ay} はそれぞれ次式で与えられる；

$$w_A = \frac{R_0 P_0}{F} \sum_{k=1}^m \left[F_{hk} \left(\frac{R_0 h_k}{P_0^2} + \frac{R_0 b_k}{P_0 P_d} \right) + F_{dk} \cdot \frac{(R_0 h_k + R_0 b_k)}{P_0^2} \right]$$

$$w_{Ax} = w_A - R_0 P_0 \left(\frac{R_0 h_k}{P_0^2} + \frac{R_0 b_k}{P_0 P_d} \right), w_{Ay} = w_{Ax} - \frac{R_0}{P_0} \frac{R_0 h_k}{2}$$

ここで、 F_{hk} 、 b_k = 桁 k の腹板、下突縁板の横断面積、 R_0 = 床版断面の中立点の曲率半径、 P_0 = 桁 k の腹板及び下突縁板断面の中立点の曲率半径、その他の記号については 図-1 参照。

各鋼橋の中立点の反り剛度を如くは全断面の中立点に因する反りモーメント及び反り定数は

$$C_x = \sum_{j=1}^n \frac{R_0^2}{F_j^2} \left[(x_j - \frac{C_x}{R_0}) J_{xy} - y_j J_{yy} + \frac{C_x}{R_0} F_j w_j y_j \right], C_y = \sum_{j=1}^n \frac{R_0^2}{F_j^2} \left[-y_j J_{xy} + (x_j - \frac{C_x}{R_0}) J_{xx} + \frac{C_y}{R_0} F_j w_j x_j \right]$$

$$C_w = \sum_{j=1}^n \frac{R_0^3}{F_j^3} \left[(x_j - \frac{C_x}{R_0})^2 J_{xy} + y_j^2 J_{yy} - 2(x_j - \frac{C_x}{R_0}) y_j J_{xy} + \frac{R_0^2}{F_j^2} F_j w_j^2 \right]$$

3-4. せん断中心と断面定数 座標系 $(O-x, y)$ における全断面のせん断中心 S の座標 (x_S, y_S) は

$$x_S = \frac{C_x J_{xy} - C_y J_{xx}}{x_j (x_j - \frac{C_x}{R_0}) - J_{xy} (J_{yy} - \frac{C_y}{R_0})}, y_S = -\frac{C_y J_{xy} - C_x J_{yy}}{J_x (J_y - \frac{C_y}{R_0}) - J_{xy} (J_{yy} - \frac{C_y}{R_0})}, R_S = R_0 \frac{J_x J_y - J_{xy}^2}{J_x (J_y - \frac{C_y}{R_0}) - J_{xy} (J_{yy} - \frac{C_y}{R_0})}$$

せん断中心 S に関する反り剛度、ねじり定数並びに反り定数はそれと同様

$$w_S^* = \frac{R_0^2}{R_S^2} w_j - \frac{R_S}{R_0} x_S y_j + \frac{R_S}{R_0} y_S x_j, J_S^* = \sum_{j=1}^n \frac{R_0^3}{F_j^3} J_{ij}, C_w^* = \frac{R_0^4}{R_S^4} \left(\frac{R_S}{R_0} C_w - x_S C_x + y_S C_y \right)$$

3. 計算例並びに比較検討

コンクリート床版を切削し、断面形不変の並列桁構造として解析する慣用計算法による結果と、床版の連続性を前提とした全断面一体としての計算結果との比較を垂直応力について 図-2, 3 に示す。

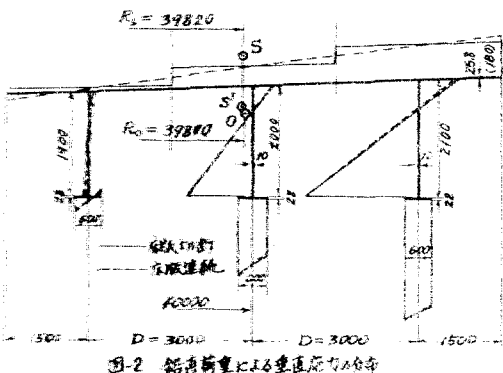


図-2 鋼重荷重による垂直応力分布

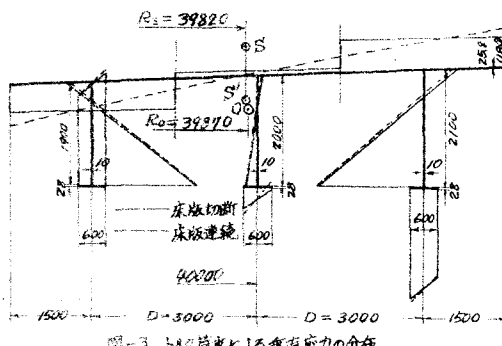


図-3 トス荷重による垂直応力の分布

計算の結果は各並列桁について平均的な値を与えるものであり、局部的な応力状態に対しては必ずしも合致しないことがある。特に床版の連続性のために生ずるコンクリート床版の内側縁部の引張応力をつけては注意しなければならない。計算結果から得られたその他の特性については講演当日に語ることにする。本節、断面形不変の並列桁構造としての計算は土木技術 Vol. 19, 20 の文献によた。